

Multifunkcionalni i hibridni sistemi na bazi kalcijum fosfata i hidroksiapatita za preventivnu i regenerativnu medicinu

DRAGANA L. MILOŠEVIĆ, Univerzitet u Beogradu,

Tehnološko-metalurški fakultet, Beograd

NENAD L. IGNJATOVIĆ, Institut tehničkih nauka,

Srpske akademije nauka i umetnosti Beograd

DRAGAN P. USKOKOVIĆ, Institut tehničkih nauka,

Srpske akademije nauka i umetnosti Beograd

Pregledni rad

UDC: 616.71-089.843

615.466

DOI: 10.5937/tehnika1701011M

Zahvaljujući svojim specifičnim svojstvima, kao što su modifikacija strukture i provlince, kalcijum-fosfati (CaP) posebno hidroksiapatit (HAp) se široko upotrebljavaju u mnogim oblastima biomedicine. Pored hemijske modifikacije, koja uključuje dopiranje metalima, unapred enje svojstava HAp-a se može postići i kombinovanjem sa velikim brojem polimera kao i terapeutskih i/ili dijagnostičkih agenasa. Materijali na bazi CaP i HAp-a mogu se koristiti u inženjerstvu koštanog tkiva za rekonstrukciju kostiju kao graftovi ali i kao sistemi za dostavu lekova, gena, antikancer agenasa, itd. Unapredena svojstva HAp-a ostvarena su dopiranjem sa različitim elementima (Co, Zn, Fe, Eu, Gd itd.). Sinteza, karakterizacija i primena nanoestica nih multifunkcionalnih i hibridnih sistema na bazi CaP i HAp-a predstavlja istraživački izazov mnogim istraživačkim grupama. Multifunkcionalne i hibridne estice na bazi HAp-a mogu da objedine medicinski preventivne/diagnostičke i regenerativne potencijale u jednoj estici.

Ključne reči: kalcijum-fosfat, hidroksiapatit, preventivna i regenerativna medicina, multifunkcionalni, hibridni, nanomaterijali

1. UVOD

Ljudska kost se sastoji iz neorganske komponente (~70 mas%) koju čini mineral kalcijum-fosfat (CaP), i organske komponente koju čine kolagen (20 mas%) kao i voda (9 mas%), i ostalih elemenata. Imajući u vidu sastav ljudske kosti, materijali na bazi CaP se široko upotrebljavaju za reparaciju oštećenih kosti, pa je od ključne važnosti razumevanje procesa biominerализacije CaP, kao i interakcije CaP sa biološkim okruženjem. U proteklih 15 godina na inženjerstvu je značaj napredak u istraživanju materijala na bazi CaP [1]. Za medicinske primene, među jedinjenjima iz grupe kalcijum-fosfata, do sada najviše istraživački pažnje privukao je kalcijum-hidroksiapatit (HAp). Nanoestice hidroksiapatita (nHAp) određeno su stohiometrijskog sastava, morfologije i slično, poslednjih godina izazivaju veliko istraživačko interesovanje. Sintetski nHAp, iako je velika estica manja od 100 nm, u

najmanje jednom pravcu, karakteriše velika površina, kao i ultra fina struktura slična mineralnoj komponenti kosti. Do sada je sintetski HAp iskorišćen u istraživanjima regeneracije i reparacije koštanog tkiva u različitim formama poput: granula, blokova ili poroznih nosača. Robocasting tehnologijama i tehnologijama 3D štampanja dobiveni su blokovi pogodni za veću rekonstrukciju humane lobanje (slika 1).



Slika 1 - Koncept rekonstrukcije kosti glave sa 3D odštampanim implantom na bazi CaP [1]

Novije studije pokazuju da materijali na bazi nHAp inhibiraju rast mnogih vrsta elastičnih kancera [2]. Estice nHAp-a se mogu površinski funkcionalizovati

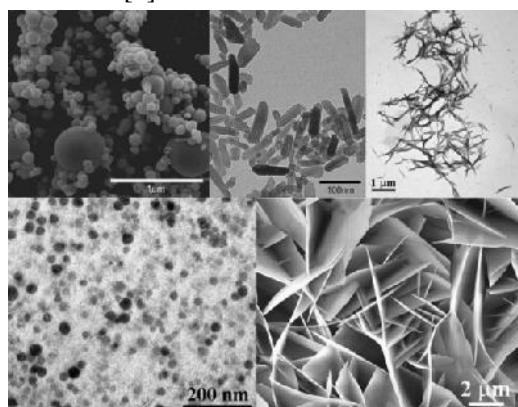
Adresa autora: Dragana Milošević, Univerzitet u Beogradu, Tehnološko-metalurški fakultet, Beograd, Karnegijeva 4, milosevicdragana28@yahoo.com

Rad primljen: 10.01.2017.

Rad prihvat: 30.01.2017.

sa različitim amfifilnim molekulima, peptidima, proteinima ili nukleinskim kiselinama, magnetnim jonima, fluorescentnim molekulima itd. [3]. Takođe, moguće je sinteza modifikovanih nano estica za primenu u regenerativnim [4] i preventivnim svrhama [5] sa mogućnostima funkcije nosa i u kontrolisanoj dostavi i otpuštanju terapeutskih agenasa [6]. Keramički biomaterijali na bazi nHAp-a ispoljavaju sposobnost indukovanja elijske diferencijacije i proliferacije koja omogućava regeneraciju tkiva [7, 8]. Estice nanometarske veličine imaju veliku aktivnu površinu u odnosu na ukupnu masu i zapreminu što za posledicu ima veću aktivnost u odnosu na konvencionalne materijale. Sintezom hidroksiapatita sa nanometarskom veličinom estica moguće je značajno unaprediti njegova mehanička svojstva poput vrstoće, modula elastičnosti i mikrotvrdoće [9].

Radi proširenja potencijalne primene nHAp-a od velike je važnosti razvijanje novih metoda sinteze i procesiranja kao i uspostavljanje kontrole nad kristalografskim i hemijskim sastavom nanoprahova. U zavisnosti od metode sinteze moguće je kreirati estice HAp-a različite veličine, morfologije, sastava, stepena kristaliničnosti, itd. Zahvaljujući fleksibilnoj strukturi hidroksiapatita, moguće je dobiti nanoprahove hidroksiapatita različite veličine i morfologije od iglica, preko štapića, do sfernih nano estica, što se može uočiti sa slike 2. [3].



Slika 2 - Prahovi HAp-a različite morfologije i veličine estica, u zavisnosti od sinteze i uslova izvođenja sinteze [3]

2. METODE SINTEZE NANO ESTICA HAp-a

Vrsta i način sinteze nHAp-a reperkujuće se na: geometriju, veličinu i raspodelu veličine estica, kristaliničnost, stehiometriju, aglomeraciju i elektrisanje površine itd. Postoje brojne metode sinteze koje se mogu grubo podeliti na:

1. suve postupke sinteze:
- sinteza u vrstoj fazi (npr. mehanohemijska sinteza)
2. mokre postupke sinteze:

- precipitaciona metoda; metoda hidrolize; hidrotermalna metoda; sol-gel metoda; emulziona metoda itd.

2.1. Suvi postupci sinteze

Suvi postupci sinteze obuhvataju sintezu u vrstoj fazi i mehanohemijsku sintezu. Jedna od sinteza u vrstoj fazi se bazira na zagrevanju kalcijum-fosfatnih soli, koje su prethodno kalcinisane na 1000°C, u odnosu enom, pri čemu se dobija nova kristalna faza. Dobijene estice su mikrometarske veličine nepravilnog oblika i često sadrže primeće druge faze zbog spore difuzije jona u vrstom stanju [10]. Jedan od nedostataka ove metode je teško a dobijanje nanoesticih prahova u neoaglomerisanoj formi. Nasuprot sintezi u vrstoj fazi kojom se dobijaju heterogene estice mehanohemijskom sintezom se mogu dobiti prahovi dobro definisane strukture. Reagensi, stehiometrijskog molarnog odnosa, se melju u planetarnom mlinu. Tokom mlevenja u materijalima dolazi do fizičkih i hemijskih promena, tj. mlevenje dovodi do iniciranja i odvijanja hemijskih reakcija. Na tok mehanohemijske sinteze utiču faktori poput: vrste reagensa, tip mline, parametri mlevenja: brzina rotacije planetarnog mline, vreme mlevanja, odnos mase praha prema mase kugli, materijal od koga su kugle izrađene itd. Mehanohemijskom sintezom je moguće dobiti nHAp [11, 12], dok su moguće i nedostaci ove metode sklonost ka aglomeraciji prahova, šira raspodela veličine dobijenih estica, kao i kontaminacija/zapravljenje prahova od strane medijuma za mlevenje.

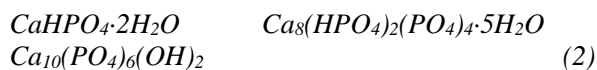
2.2. Mokri postupci sinteze

U poređenju sa suvimi postupcima sinteze mokri postupci su do sada znatno više istraženi jer se njima dobijaju prahovi kontrolisanih svojstava, sa manjom prosečnom veličinom estica, boljom uniformnošću i većom specifičnom površinom. Dobijanje nHAp-a moguće je primenom precipitacionih metoda, koje su zasnovane na teorijskom sastavu kalcijum-hidroksiapatita, i to na više načina. Zajedno sa ove reakcije je da odnos Ca/P u reakciji smeši treba da bude 1,67, što je preduslov za dobijanje monofaznih prahova. Jedan od načina je korištenje različitih kalcijumovih soli poput CaNO₃, CaCl₂ ili Ca(CH₃COO)₂, i fosfatnih soli poput (NH₄)₂PO₄.

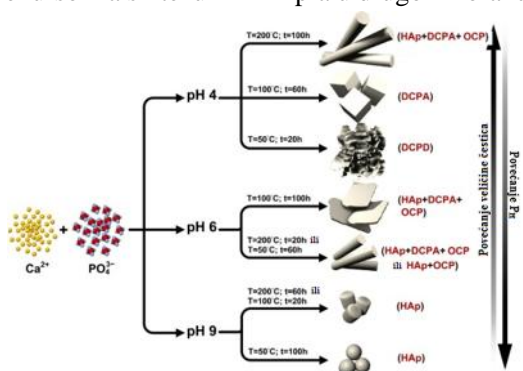
Kao izvor fosfatnih jona može se koristiti i H₃PO₄. Nitratni i hloridni anjoni iz kalcijumovih soli se ugrađuju u strukturu hidroksiapatita tokom sinteze, pa se umesto CaNO₃ i CaCl₂ često koristi Ca(CH₃COO)₂, zbog nemogućnosti acetatnog anjona da se ugradi u strukturu hidroksiapatita [13]. Drugi način koji se može izvršiti sinteza nHAp-a je metoda neutralizacije. Prekursori koji se obično koriste u ovoj metodi su Ca(OH)₂ i H₃PO₄. Dobijanje nanoprahova, metodom neutralizacije, odgovarajuće stehiometrije, oblika,

veli i raspodele veli estica, kristalini nosti itd. veoma zavise od uslova izvo enja sinteze poput pH vrednosti, temperature na kojoj se sinteza izvodi kao i temperature starenja taloga [3], brzine ukapanja kiseline [14], inertne atmosfere [15], isto e reaktanata [16], itd.

HAp se može dobiti procesom hidrolize kalcijum-ortofosfata u vodenoj sredini, što je obično prao eno procesima rastvaranja i taloženja. Naj eš e korišene kalcijum-fosfatne soli su: anhidrovani dikalcijum-fosfat (DCPA), dikalcijum-fosfat dihidrat (DCPD), -trikalcijum fosfat (-TCP), -trikalcijum fosfat (-TCP). DCPA i DCPD su termodinamički nestabilniji pri pH vrednostima iznad 6-7, i podležu transformaciji u stabilniju fazu tj. HAp, što je prikazano jedna inama (1) i (2), [17]:



Hidrotermalna metoda je jedna od do sada naj eš e korištenih metoda za dobijanje nano estica hidroksiapatita i obično se odvija reakcijama u vodenim rastvorima na povišenoj temperaturi i pritisku [18, 19]. Proizvodi mogu biti visokog stepena kristalinitosti, jasno definisane i esto uniformne strukture, a variranjem parametara sinteze može se uticati na svojstva dobijenih produkata. Moguće je kontrola nuklearacije, rasta i procesa starenja dobijenog precipitata. Na osnovu brojnih eksperimentalnih podataka [18], utvrđeno je da su parametri sinteze, koji imaju najznačajniji uticaj na strukturalna i morfološka svojstva HAp-a: temperatura, pH i vreme trajanja sinteze, što je prikazano na slici 3. Modifikovanom hidrotermalnom metodom izvršena je sinteza jednodimenzionalnog (1D) hidroksiapatita, i to u dva koraka. Dikalcijum-fosfat sintetizovan u prvom koraku je korišten kao prekursor za sintezu 1D HAp-a u drugom koraku [19].



Slika 3 - Uticaj temperature, pH vrednosti i vremena na strukturu i morfologiju kalcijum-fosfatnih prahova [18]

Sol-gel metoda podrazumeva prelaz koloidnog rastvora (sol) u gel, uključujući i procese poput hidrolize,

kondenzacije, starenja, sušenja i kalcinacije. Estice sola koje su nanometarske veli estica, se me obično povezuju lancima polimera mikrometarske veli estica, na taj način formiraju i vrstu, poroznu mrežu submikrometarskih pora. Alkoksidi u prisustvu vode lako podležu hidrolizi, što se može prikazati sledećom reakcijom:



Nakon hidrolize sledi proces kondenzacije tokom kojeg dolazi do formiranja M-O-M veza putem dehidratacije:



Nakon završene faze geliranja sledi proces sušenja koji se odvija na relativno niskim temperaturama, pri čemu se uklanja tečna faza. Završna faza je kalcinacija osušenih uzoraka kojom se postiže uklanjanje zaostale koliste rastvara i površane gustine. Prahovi dobijeni na ovakav način su stohiometrijske strukture sa velikom specifičnom površinom i nanometarskom veličinom estica [20].

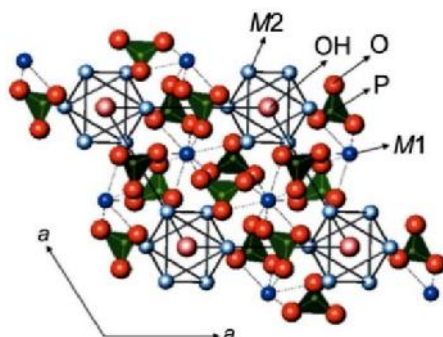
Emulziona metoda takođe izaziva veliko istraživanje interesovanje jer pruža mogućnost dobijanja neaglomerisanih prahova nanometarske veli estica uz kontrolu mikrostrukture i morfologije dobijenih estica. Emulzija predstavlja disperzni sistem dve tečnosti, koje se me obično ne mešaju, u kojoj je jedna tečnost u obliku kapi dispergovana u drugoj. Za razliku od nanoemulzija, mikroemulzije su termodinamički stabilne disperzije dve nemešljive tečnosti (obično voda i ulja), me obično stabilisane prisustvom surfaktanta tj. površinski aktivnih supstanci.

3. MODIFIKACIJA HAp-a

Hidroksiapatit, hemijske formule $\text{Ca}_{10}(\text{PO}_4)_6(\text{OH})_2$ sa stohiometrijskim odnosom $\text{Ca}/\text{P}=1,67$ je heksagonalne kristalografske strukture [21]. Modifikacija HAp-a dopiranjem ili supstitucijom anjona ili katjona proširuje potencijalnu biomedicinsku primenu ovog materijala. Metal-dopirani HAp pokazao je veliki osteogenetski potencijal [22], takođe i antimikrobna svojstva [23], a može biti pogodan i za dobijanje prevlaka [24], sistema za dostavu medikamenata [25], biomarkera za nanomedicinske aplikacije [26], itd. Katjon poput Ca^{2+} i anjoni poput PO_4^{3-} i OH^- jona, iz strukture HAp-a, se mogu deliti ili potpuno zameniti drugim jonima, bez narušavanja kristalografske simetrije. Joni kalcijuma se mogu izmeniti sa velikim brojem jednovalentnih i višeivalentnih katjona, dok se hidroksilni anjon uglavnom supstituiše sa F^- i CO_3^{2-} jonica, fosfatni anjon se može zameniti sa CO_3^{2-} jonica.

Veličina, vrsta i količina jona supstituenta utiče na fizikalno-hemijska svojstva dopiranih HAp, tj. na

njegovu termi ku stabilnost, parametre rešetke, velinu i morfologiju kristalita, rastvorljivost itd. Jedini na elija HAp sadrži dva kristalografski nezavisna Ca položaja: M₁ i M₂ (slika 4). Ca(M₁) se nalaze u 4f Vikfovom (Wyckoff) položaju i povezani su sa devet atoma O koji grade PO₄ tetraedre, dok se Ca(M₂) nalaze u 6h Vikfovom položaju i koordinirani su sa 6 atoma O koji grade PO₄ tetraedre i jednog OH⁻ jona smeštenog u kanalu duž [001] pravca [27].



Slika 4 - Prikaz kristalne strukture hidroksiapatita duž pravca [001] [27]

3.1. Modifikacija HAp-a katjonima

Do sada su poznate različite metode pomoću kojih se joni metala mogu površinski ili po celoj zapremini ugraditi u estice HAp-a. Dobijanje monofaznih estica sa homogenom raspodelom jona metala od posebnog je značaja za primenu ovakvih materijala u medicinske svrhe.

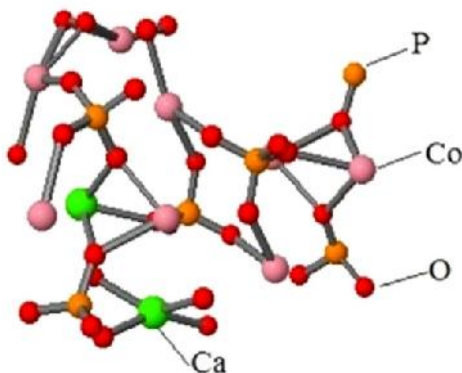
U cilju unapređenja svojstava HAp-a ispitane su mogunosti dopiranja sa različitim metalnim jonom. Supstitucijom dvovalentnih jona ne remeti se elektroneutralnost elementarne elije HAp-a, dok supstitucija jednovalentnih katjona poput Na⁺ i K⁺ izaziva promenu naielktrisanja koja se može kompenzovati formiranjem vakancija.

Supstitucija kalcijumovih jona drugim katjonima može da prouzrokuje promene u parametrima kristalne rešetke, zavisno od veličine jona. Količina jona metala koji se ugrađuje u strukturu HAp-a zavisi od primenjene metode i uslova izvođenja sinteze, ali i od vrste, prenika i elektrownegativnosti jona metala. Supstitucija Ca²⁺ jona u položaju M₂ mogla bi biti energetski povoljnija. Joni metala sa većim prenikom i većom elektrownegativnošću u prvenstveno supstituišu jone metala u položaju M₂, dok se joni metala sa manjim prenikom i manjom elektrownegativnošću supstituišu u položaju M₁ [28]. Katjoni Ba²⁺, Pb²⁺ i Sr²⁺, koji su veći od Ca²⁺ jona smeštaju se u položaje M₂ [29].

3.2. Co-dopirane nano estice HAp-a (Co-HAp)

Najčešće koriste se metode za dobijanje kobaltom dopiranog hidroksiapatita (Co-HAp-a) sa hidrotermalnom sintezom [22, 27, 30, 31], kao i precipitacijom [32].

Primenom hidrotermalne metode, na temperaturi od 473K, izvršena je sinteza Co-dopiranih nano estice HAp-a. ICP spektroskopska analiza je pokazala da Co²⁺ jon supstituiše jone Ca²⁺ do 12 at.%, i da se daljim povremenim koncentracijama jona kobalta ne povećava sadržaj Co²⁺ u kristalnoj strukturi HAp-a. Vrednosti parametara jedini na elija HAp-a su se postepeno smanjivale sa povremenim sadržajem kobalta, što odgovara injenicima da su joni kobalta manji od jona kalcijuma. Na slici 5. je prikazana struktura HAp-a u kojoj je strukturu ugrađen jion kobalta [27]. Primenom iste sinteze izvršena je modifikacija HAp-a esticama kobalta u različitom masenom odnosu, i postignuto značajno poboljšanje osteogenetskog potencijala, pri čemu su dobijeni prahovi sfernih estica veličine manje od 100 nm. Materijal Co-HAp dobijen na ovakav način je upotrebljen za rekonstrukciju veštak izazvanih osteoporoznih defekata, a rezultati histomorfološke, hemijske i histološke analize su pokazali da se osteogenetski potencijal koristi u ovom materijalu povećava sa povremenim sadržajem kobalta [22].



Slika 5 - Kobalt-dopirani hidroksiapatit [27]

Ispitane su mogunosti sinteze magnetnih nanoestica HAp-a, supstitucijom jona Ca²⁺ magnetnim jonom poput Fe²⁺ i Co²⁺ jona, što ih čini pogodnim za različite primene, kao što su magnetno-rezonantni imidžing, manipulacija pomoću magnetnog polja za tretman elija kancereta hipertermijom, ciljana dostava medikamenata, itd [33]. Bakterijske infekcije na mestu implantacije su jedan od problema koji se javljaju u inženjerstvu koštanog tkiva. U cilju sprečavanja infekcije bakterijama *Staphylococcus aureus* i *Escherichia coli* vrši se dopiranje nHAp-a jonom metala poput Co²⁺, za koje je potvrđeno, [34] da poseduju antimikrobna svojstva protiv pomenutih sojeva bakterija u odnosu na istrivani HAp i HAp/PLGA.

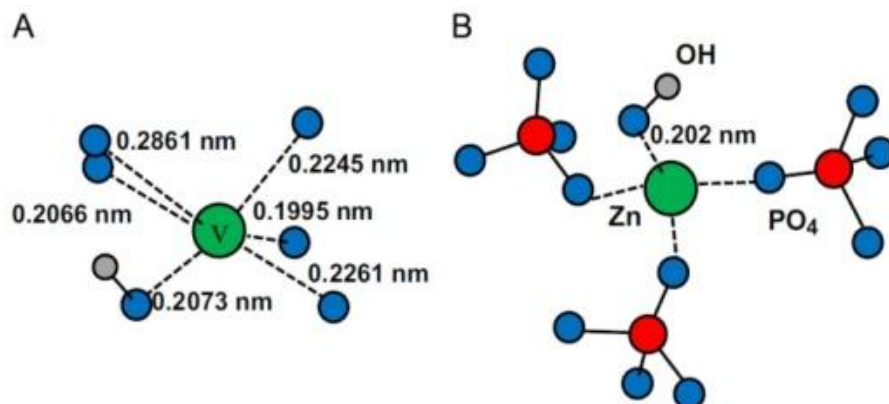
3.3. Zn-dopirane nano estice HAp-a (Zn-HAp)

Sinteza Zn-HAp se pretežno izvodi metodom precipitacije [35-37], jonskom izmenom [38], hidrotermalnom sintezom [39], kao i sol-gel procesima [40]. Jonski radijus Zn²⁺ jona iznosi 0,074 nm i manji je u

pore enju sa Ca^{2+} jonskim radijusom koji iznosi 0,099 nm, pa je i očekivano da se parametri rešetke Zn-HAp promene.

Parametar kristalne rešetke c , [41] opada sa porastom sadržaja cinka, dok se parameter a povećava za koncentracije cinka iznad 5 mol%. Povećanje vrednosti parametra a pri većim koncentracijama cinka pripisano je supstituciji OH^- jona molekula vode. Joni Ca^{2+} se supstituišu jonima Zn^{2+} u položaju $\text{Ca}(\text{M}_2)$ [37].

Sude i po nekim autorima cink je oktaedarski koordinisan, slika 6a, dok je prema Tang-u i saradnicima [37] tetraedarski koordinisan, slika 6b. Na osnovu slike 6b se može uočiti da je cink povezan sa tri atoma kiseonika koji potiču iz susednih fosfatnih grupa i jednim atomom kiseonika koji potiče iz hidroksilne grupe. U cilju povećanja antimikrobnog potencijala ispitana je i mogućnost ugradnje drugih elemenata (Ag^+ , Zn^{2+} , Cu^{2+} , itd.) u strukturu HAp-a [42].



Slika 6 - Koordinacija cinka inkorporiranog u strukturu HAp-a, a) oktaedarska koordinacija; b) tetraedarska koordinacija [37]

3.4. Fe-dopirane nano estice HAp-a (Fe-HAp)

Magnetne nano estice Fe-HAp se mogu sintetizovati metodom koprecipitacije iz vodenih rastvora, sa razliitim koncentracijama Fe^{2+} jona [43, 33], ili metodom u mikrotalasnom polju [44]. Faktori koji utiču na magnetna svojstva ovih estica su mikrostruktura, anizotropija i orientacija. Dokazano je da prisustvo Fe^{2+} jona sa radijusom od 0,0835 nm koji je manji od radiusa Ca^{2+} utiče na parametre rešetke [43].

Dopiranje HAp-a jonomi gvožđa (sa 10% i 50%) uzrokuje smanjenje kristaliničkih nosti i povećanje a i c parametara kristalne rešetke i ispoljava superparamagnetska svojstva. Fe-HAp mogao bi potencijalno da se primeni kao grejni medijator u lečenju karcinoma hipertermijom [45], ovakve estice se mogu usmeriti na tačno određeno mesto u organizmu upotreboom spoljašnjeg magnetnog polja, mogu se koristiti i kao kontrastni agensi u magnetno-rezonantnom imidžingu. Magnetne nano estice HAp-a pomešane sa fosfatnim puferskim rastvorom su bile testirane *in vivo* injektiranjem u tumor koji je na ovaj način bio tretiran unutrašnjim magnetnim poljem, radi izazivanja hipertermije. U periodu od dve nedelje testiranja zapaženo je dramatično smanjenje tumora [2].

3.5. Nano estice HAp-a dopirane lantanidima (Ln-HAp)

Metalni joni se mogu unositi kao dopanti u kristalnu rešetku HAp-a za razne tehnološke aplikacije zasnovane na luminiscenci. Luminiscanca je pojava da

se, nakon pobušivanja molekula ili atoma u eksicitovano elektronsko stanje od strane nekog izvora energije, molekul tј. atom vraća u osnovno stanje, emitujući energiju u formi svetlosti.

Ln-dopirani HAp takođe ispoljavaju svojstva luminescencije, pa se može koristiti za biološko fluorescencntno obeležavanje, kao kontrasni agensi u bioimagingu, magnetno-rezonantnom imidžingu, multidektorskoj kompjuterizovanoj tomografiji, itd.

Emisioni spektri HAp-a dopirani Ln^{3+} jonomi se sastoje od uskih emisionih traka, visoke fotohemiske stabilnosti, i dugačkog vremena života. Ispoljavaju veoma male toksične efekte u *in vivo* uslovima pa su pogodni za biomedicinske primene kako u dijagnostici tako i u terapiji (tzv. teranostici). Zbog jake luminescencije i male citotoksičnosti mnoga istraživanja su usmerena ka proučavanju primene Ln-HAp-a u bioimagingu.

Joni Ca^{2+} mogu biti supstituisani Ce^{3+} jonomi, jer su vrednosti elektronegativnosti metalnog cerijuma i jonskog radijusa (0,107 nm) slične vrednostima kalcijuma. Takođe je potvrđeno da Ce^{3+} joni ispoljavaju antimikrobno dejstvo [46, 47].

Cerijumom dopirane nHAp-a sintetisane metodom koprecipitacije [47], ispoljavaju značajnu antibakterijsku aktivnost prema bakterijskim vrstama *Staphylococcus aureus* i *Escherichia coli*, u odnosu na uzorak istog HAp-a. Rezultati XRD analize su pokazali da je došlo do kontinualnog povećanja a i c

parametara jedini ne elije sa poveanjem koncentracije cerijuma. Dizajn i sinteza multifunkcionalnih nanostrukturnih sistema visoke biokompatibilnosti je od izuzetnog značaja za dijagnostiku i terapiju i intenzivno se ispituje kroz teranosti i pristup. Nano estice koje se koriste u teranostici privlače veliku pažnju jer se ovakvi materijali mogu spontano i selektivno akumulirati na specifičnim tumorskim mestima i simultano unaprediti dijagnozu i lečenje [48]. Joni lantanida poput Eu³⁺ i Gd³⁺ pokazuju potencijal u lečenju osteoporoze [49]. Joni Eu, zahvaljujući intraorbitalnim elektronskim prelazima, dovode do pojave fotoluminiscencije dopiranih nano estica i kao takve se mogu koristiti u biološkom imidžingu. Sa druge strane, Gd se može koristiti kao kontrastni agens i obezbeđivati bolji magnetno-rezonantni signal. Dizajn i sinteza multifunkcionalnih sistema su od velikog značaja za buduća klinička ispitivanja. Multifunkcionalni sistem [50], kakav je Gd³⁺/Eu³⁺-HAp nanocevi, je sintetizovan mikrotalasno radi ispitivanja njegove potencijalne primene u dijagnostici, kroz *in vivo* imidžing i istovremenoj terapiji, kao nosilac leka. Sa poveanjem koncentracije jona Gd³⁺ magnetizacija dopiranog nHAp-a se takođe povećava. Eu^{3+}/Gd³⁺ dopirane nanocevi HAp-a poseduju veliki adsorpcioni kapacitet prema medikamentima i mogu se koristiti kao sistemi sa neprekidnim otpuštanjem medikamenata. Istraživanja u *in vitro* i *in vivo* uslovima su pokazala da ovaj materijal ima potencijal za primenu u magnetno-rezonantnom imidžingu, fotoluminiscentnom imidžingu i tomografiji. Veličina kristala i kristaliničnost [51] HAp-a su se smanjivale supstitucijom Eu³⁺ i/ili Gd³⁺. Eu-HAp je emitovao narandžasto-crvenu boju zahvaljujući ⁵D₀ → F₁ prelazima jona Eu³⁺, dok je Gd-HAp ispoljavao paramagnetske svojstva, pa je i otkriveno da HAp dopiran ovim jonima ispoljava oba navedena svojstva i bude dobar kontrastni agens za optički magnetno-rezonantni imidžing. Nanocevi HAp-a, zbog svoje potencijalne biokompatibilnosti, bioaktivnosti i osteokonduktivnosti obejavajuće su u dijagnostici i terapiji kancera kao magnetni-radioizotopni nosači. Gd³⁺ dopirane nanocevi HAp-a (Gd-HAp) [52], se intenzivno ispituju kao potencijalni nosači radioisotopa za tretman rane faze kancera kroz teragnosti i pristup, odnosno za dijagnostiku i lečenje tumora magnetno-rezonantnim imidžingom i tomografijom.}

4. SINTEZA I DIZAJNIRANJE MULTIFUNKCIONALNIH I HIBRIDNIH KOMPOZITNIH MATERIJALA NA BAZI nHAp-a ZA PRIMENU U REGENERATIVNOJ MEDICINI

Površinskom modifikacijom estica može se uticati na njihovo površinsko nanelektrisanje, hidrofilnost, koloidnu stabilnost, a samim tim i na njihova

biološka svojstva. Funkcionalnost nHAp-a se takođe može poboljšati njegovom modifikacijom sa aminokiselinama, kao i hidrofilnim organskim prevlakama poput albumina, dekstrina itd. Radi postizanja bolje interakcije između elija i biomaterijala i unapredavanja svojstava, nHAp se može površinski ili zapreminski modifikovati peptidima [53]. Najčešći je korišteni peptid za biomimetičnu površinsku modifikaciju je RGD (Arg-Gly-Asp), koji je sastavni deo proteina ekstracelularnog matriksa i omogućava bolju adheziju mnogih vrsta elija. Površina nosača se može konjugovati specifičnim ligandima, za ciljanu dijagnostiku i terapiju, poput monoklonskih antitela, takođe može se konjugovati sa zaštitnim polimerima poput PEG (polyethylene glycol) ili BSA (bovine serum albumin) i na taj način povećati vreme cirkulacije nanaosa i u krvi. Pored peptida površina HAp-a se može funkcionalizovati oligonukleotidima i DNK. Kompozitni materijal na bazi CaP i DNK je dobijen jednostavnim postupkom koprecipitacije [54]. Inženjerstvo koštanog tkiva neprekidno razvija nove načine sinteze u cilju dobijanja multifunkcionalnih i hibridnih sintetskih materijala, od kojih se očekuje da pruže potporu oštećenom koštanom tkivu, da budu privremeni supstrat, da imaju ulogu matrice za rast i diferencijaciju elija, ali i da imaju sposobnost kontrole nad brzinom otpuštanja medikamenata u okolno tkivo. Implanti poput allograftova i xenograftova se sve više zamjenjuju multifunkcionalnim sintetskim materijalima koji smanjuju rizik od infekcija i odbacivanja implanta na minimum.

Estice nanometarske veličine imaju veći resorcioni kapacitet u poredu sa istim esticama mikrometarske veličine [55]. Jedna od strategija dizajniranja materijala, na bazi nHAp-a je njihovo ojačavanje sintetskim polimernim matricama poput poli-L-laktida (PLLA) [56, 57], poli(laktid-ko-glikolida), (PLGA) [58] ili prirodnim polimerima poput hitozana [59, 60], kolagena [61], celuloze, elastina, keratina itd. [62]. Multifunkcionalni i hibridni nano esti su sistemi na bazi nHAp-a i polimera u kom je dispergovana aktivna supstanca u posebnu grupu sistema za kontrolisano otpuštanje lekova u inženjerstvu koštanog tkiva. U ovakvim sistemima estice nHAp mogu imati ulogu aktivnog punioca koštanog defekta, dok je kontrolisano oslobođenje aktivne supstance/leka omogućeno pomoći u polimera.

Upravo ovakav koncept je primenjen u dizajniranju nHAp-a za lokalnu dostavu tigeciklina u cilju lečenja osteomijelitisa [63, 64]. Kompozitni biomaterijal na bazi HAp/PLLA [65], sa visoko kristalnom HAp fazom, je sintetizovan u dva koraka. U prvom koraku je sintetisan materijal sa željenim odnosom faza, dok je u drugom koraku materijal oblikovan toplim i hladnim presovanjem. Utvrđeno je

da se primenom toplog presovanja, na temperaturi topljenja PLLA, može uticati na poroznost, molsku masu PLLA, kao i odnos amorfne i kristalne faze, što je od izuzetnog značaja za strukturu i svojstva ovakve vrste kompozitnog materijala.

Nakon implantacije u koštani defekt, polimerna komponenta, ojačana hidroksiapatitom, se u tkivu resorbuje i na taj način ustupa svoje mesto novoformiranom tkivu, dok je faza HA-a stabilna u ispitivanom vremenskom intervalu [66].

Kompozitni biomaterijali na bazi CaP i bioresorbibilnih/bioneresorbibilnih polimera su do sada bili predmet brojnih istraživanja u cilju dobijanja biomaterijala sa zadovoljavajućim mehaničkim i biokompatibilnim svojstvima, pa je u tom cilju istraživanje injektabilnog kompozitnog materijala na bazi polisilosana i HA-a u formi cementa [67]. Nanokristalni CaP su se pokazali kao pogodni za sintezu kompozitnih biomaterijala na bazi CaP i bioresorbibilnog polimera a za primenu u inženjerstvu koštanog tkiva [68].

Kompozitni materijal na bazi bifaznog kalcijum-fosfata (BCP, koji sadrži HA-a i trikalcijumfosfat) i PLGA je ispitana u rekonstrukcijama osteoporozom oštećenog koštanog tkiva [69]. Utvrđeno je da BCP/PLGA indukuje formiranje nove kosti i zahvaljujući i njegovom osteokonduktivnom potencijalu može uspešno zameniti koštano tkivo. Korišćene kompozitne biomaterijale, BCP/PLGA u formi granula u lećenju defekata alveolarne kosti je takođe ukazalo na njegov potencijal koštane regeneracije. *In vitro* istraživanja na elijama miševa takođe su potvrdila uspešnu adheziju elija fibroblasta na površini ovog materijala [70]. Jedno od značajnih svojstava BCP je njegova hemijska sličnost sa neorganskim komponentom humane kosti, dok PLGA karakteriše visok stepen biokompatibilnosti i netočnosti [71].

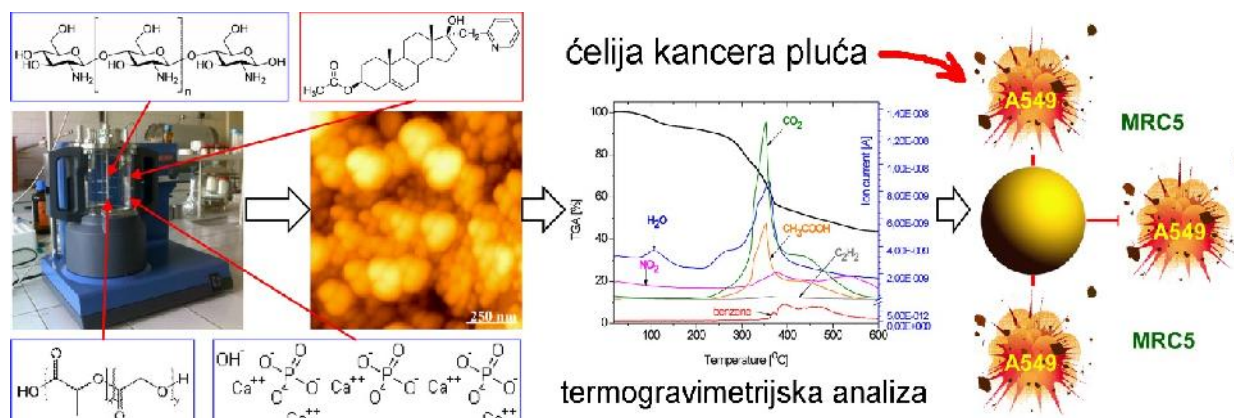
Tumori pluća, dojki, prostate, pankreasa, želuca, jetre i debelog creva su najčešći uzroci smrti pacijenata širom sveta. Tradicionalno lečenje kancera, koje uključuje: operaciju, radioterapiju, imunoterapiju, gensku terapiju ili hormonsku terapiju, ima svoja ograničenja u zavisnosti od vrste kancera. Radi poboljšanja dijagnostike i terapije ove vrste bolesti poslednjih godina intenzivno se razvijaju metode zasnovane na dostavi medikamenta upotreboom različitih nanosistema. HA-a, HA-p kao i kompozitni materijali na bazi HA-a se široko ispituju kao nosači medikamenta za lečenje tumora, jer obezbeđuju kontrolisano oslobađanje medikamenta na specifičnim ciljanim mestima bez neželjenih efekata. Zahvaljujući i sistemima za dostavu medikamenta mnoge vrste medikamenta i terapijskih agenasa poput hormona, proteina, antibiotika, polipeptida, gena, kao i anticancer medikamenta se mogu koristiti u *in vivo* uslovima. Ispitane su mogućnosti

sinteze i procesiranja hibridnih sistema na bazi nHA-pa i polimera hitozana (Ch) i PLGA, u cilju dobijanja materijala (nHA-p/Ch; nHA-p/Ch/PLGA) za ciljano lečenje bolesti organa [72]. Radi ispitivanja biodistribucije kao i krajnjeg odredišta estica, razvijena je nova metoda obeležavanja pomenutih sistema radioaktivnim ^{125}I . Nakon intravenoznog injektiranja u miševima, estice na bazi nHA-p/Ch i nHA-p/Ch/PLGA pokazale različito ponašanje u *in vivo* uslovima u odnosu na isti nHA-p. nHA-p estice su uglavnom bile usmerene ka jetri, nHA-p/Ch ka jetri i slezini, dok su nHA-p/Ch/PLGA bile usmerene ka plućima.

Dizajniranje sistema koji sa jedne strane ispoljava visoku aktivnost prema elijama kancera, a sa druge strane nisku aktivnost prema zdravim elijama, predstavlja veliki izazov. Estice na bazi nHA-p/Ch/PLGA su korišćene kao nosači jedinjenja A, (17-hydroxy-17'-picolyl-androst-5-en-3'-yl acetate) hemoterapeutskog derivata androstana, koji pokazuje selektivnu antikancerogenu aktivnost prema elijama karcinoma pluća [60]. Kompozitni materijal A-HA-p/Ch/PLGA bi potencijalno mogao da se koristi za selektivnu terapiju malignih elija pluća (slika 7).

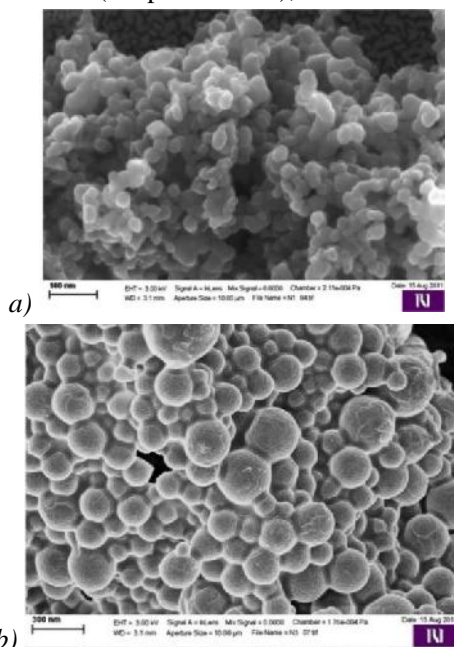
Modifikovanom hidrotermalnom metodom [73], u kojoj je umesto amonijaka korišćen natrijum-hidroksid, je izvršena sinteza nHA-p-a u cilju dobijanja nosača medikamenta: 5-fluorouracil-a (5-FU), široko korišćenog za tretman gastrointestinalnih kancera. Rezultati su potvrđeni mogućnost korišćenja 5-FU/nHA-p za tretman kancerogenih elija želuca. Najčešći maligni tumor mozga je gliom i poslednjih godina na inženjeringu je značajno napredak u postavljanju dijagnoze i njegovom lečenju, ali njegovo ponavljanje nakon resekcije i dalje predstavlja značajni problem. Razvojem nanotehnologije, pokazano je da nHA-p-a inhibiraju proliferaciju elija različitih vrsta tumora, ali njihov uticaj na ljudske elije glioma nije dovoljno istražen. U cilju postavljanja teorijskih osnova za kliničku upotrebu ispitivan je inhibitorni efekat nHA-p-a na rast ljudskih elija glioma (U251 i SHG44), pri čemu je pokazano da nHA-p indukuje apoptozu tumorskih elija glioma *in vitro* i *in vivo*, a u kombinaciji sa hemoterapeutskim medikamentom: BCNU (1,3-bis(2-chloroethyl)-1-nitrosourea) značajno smanjuje nuspojave [74].

Vitamin D spada u grupu liposolubilnih vitamina i sintetički se u ovekovom organizmu, ali se može unositi i putem hrane. Stvara se u koži iz 7-dehidrocolesterola pod uticajem UV zračenja. Nedostatak vitamina D dovodi do hipokalcemije, hipofosfatemije, demineralizacije kostiju, bolova u kostima, fraktura, slabosti mišića, osteoporoze, itd. Pokazano je da vitamin D, koji se koristi u tretmanu osteoporoze povoljno utiče na zarastanje preloma.



Slika 7 - Sintesa, karakterizacija i in vitro ispitivanja A-HAp/Ch-PLGA na elijama tumora pluća [60]

Multifunkcionalni sistem na bazi nHAp-a [75] sintetizovan je kao direktni nosač holekalciferola (HAp/D₃) u cilju njegove pulsne dostave, kao i nosač na bazi nHAp-a i PLGA u cilju kontrolisane dostave holekalciferola (HAp/D₃/PLGA), slika 8.



Slika 8 - SEM mikrografija multifunkcionalnog i hibridnog sistema na bazi nHAp-a: a) nHAp/D₃, b) nHAp/D₃/PLGA [75]

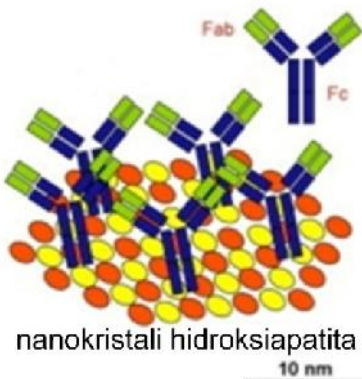
Razvoj ovakvih nano estera omogućava simultanu regeneraciju kosti kao i lokalnu dostavu medikamenta. Nakon isporuke vitamina D₃, nosač nHAp ima ulogu aktivnog punioca uz postepenu supstituciju sa novom kosti.

5. KONJUGOVANI HAپ

5.1. Konjugovani nHAp za primenu u terapiji

Nanomaterijali zbog svojih specifičnih svojstava [76] mogu proširiti potencijal svoje primene konjugovanjem sa raznim grupama i jedinjenjima [77]. Zbog svojih specifičnih osobina, antitela (imunoglobulinini)

Ig su jedni od izabranih molekula za ciljanu terapiju [78]. Zahvaljujući i mogu nositi konjugacije nHAp-a sa antitelima (At), svojstva nano estera se kombinuju sa specifičnim i selektivnim sposobnostima antitela da prepoznaaju antigene [4]. Postoji mogunost da se nosač na bazi nHAp-a biomimički dizajnira tj. funkcionalizuje antitelima i koristi za ciljanu dostavu medicamenata do specifičnog mesta (tumora). Istraživači i širom sveta pokušavaju da razviju nove metode sinteze i dizajniranja na bazi prirodnih i poznatih procesa. Biomimicry na metodu pokazala se pogodnom za sintezu materijala složenih oblika i struktura, pogodnih za korištenje u biološkim sistemima [79]. Antitela, poput ljudskog imunoglobulina IgG, se mogu konjugovati tj. adsorbovati na površini nHAp-a, uz pretpostavku da se usled sternalih smetnji, adsorbacija vrši preko Fc fragmenta [80], kako je prikazano na slici 9.



Slika 9 - Konjugovani nHAp-IgG [4]

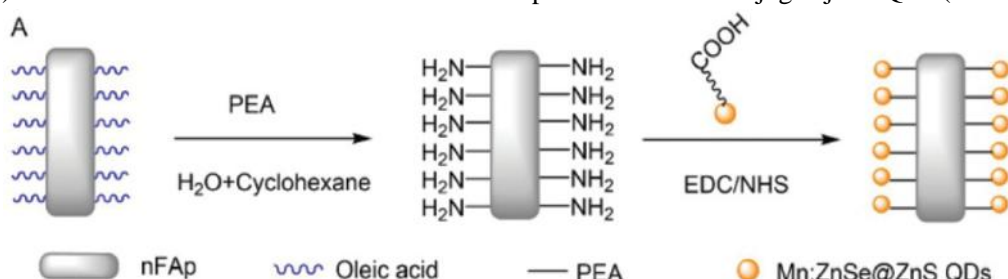
Uvereno je da je maksimalni adsorpcioni kapacitet nHAp-IgG iznos 2,3 mg/m². Uzimajući u obzir namometarsku veličinu estera HAp-a, prepostavlja se da bi on nesmetano mogao da cirkuliše u krvotoku, izbegavajući i pri tome elije fagocita, i da je s toga pogodan nosač molekula poput antitela. Pored konjugacije sa imunoglobulinima moguće je izvršiti konjugaciju HAp-a sa albuminom iz govedege serum (BSA-bovine serum albumin) i dobiti sistem (BSA-HAp) sa kontrolisanim otpuštanjem proteina [81].

5.2. Konjugovani nHAp za primenu u dijagnostici

Organski fluorescentni molekuli i radioaktivni izvori koji su se do sada koristili za biološko obeležavanje, teže da budu zamenjeni neuporedivo efikasnijim nanostrukturama poput kvantnih tačaka (QDs) kakve su npr. QDs Se. Emisioni spektar kvantnih tačaka je veoma uzak i iznosi ~30 nm, pa usled kvantnog ograničenja boja, odnosno talasna dužina koju emituje zavisi od njene veličine. QDs poput CdSe ili CdTe mogu ispoljavati i toksičnost u *in vivo* uslovima [82]. Toksične QDs se mogu dopirati sa Mn i tako unaprediti u netoksične i pogodne za široku upotrebu npr. u bioimidžingu [83, 84]. U cilju sprečavanja toksičnosti QDs se mogu oblagati i sa različitim prevlakama koje sprečavaju izloženost i oksidaciju koje bi mogle da dovedu do povećanja toksičnosti. Jedna od strategija sprečavanja otpuštanja Cd kod široko ispitivanih QDs CdSe je stabilizacija kvantnih tačaka poput u HAp-a [5]. Poboljšanje biokompatibilnosti CdSe/ZnS kvantnih tačaka koje se koriste u bioimidžingu, je postignuto konjugacijom sa HAp-om [85].

Komercijalno dostupne jezgro-omota kvantne tačke CdSe/ZnS talasne dužine 600 nm i prenika ~20 nm i CdSeTe/ZnS talasne dužine 800 nm su površinski funkcionalizovane amino-grupama radi lakše konjugacije sa nHAp-om [5].

Konjugacija se vrši kovalentnim vezivanjem između amino grupa i OH grupa koje potiču iz nHAp-a (slika 10).

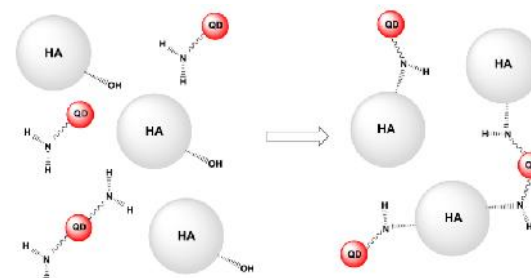


Slika 11 - Šematski prikaz modifikacije nFHAp-a i njegova konjugacija sa QDs. (PEA- fosfoetanol- amin; EDC- 1-(3-dimetilamino-propil)-3- etilkarbodiimid hidrohlorid; NHS- N- hidroksisukcinimid) [85]

Rezultati su pokazali da monodisperzne nFHAp-QDs estice ispoljavaju visoku luminiscenciju, zadovoljavaju u biokompatibilnost, nisku toksičnost i mogu se potencijalno koristiti u *in vivo* imidžingu u svrhu dijagnoze i terapije tumora.

5.3. HAp za primenu u inženjerstvu mati nih elija

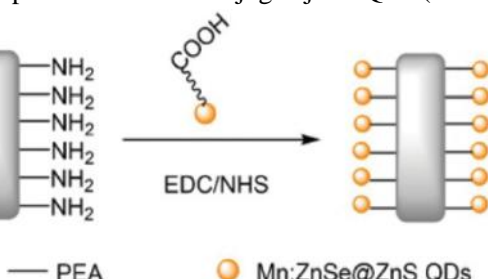
HAp ili kompozitni biomaterijali na bazi HAp- a ukazali su na opravdanost istraživanja u oblasti inženjerstva mati nih elija. Dosadašnja istraživanja jasno su utvrdila da svojstva HAp- a kao nosača, značajno utiču na ponašanje i diferencijaciju mati nih elija [86]. HAp u različitim kombinacijama sa drugim materijalima može takođe da utiče na diferencijaciju elija putem TNF-α-mekanizma [87].



Slika 10 - Šematski prikaz konjugacije nHAp sa površinski funkcionalizovanim QDs [5]

Primenom fluorescentne mikroskopije je potvrđeno da suspenzija nHAp-CdSe/ZnS pokazuju intenzivnu fluoerescenciju na 350 nm. Studije u *in vivo* uslovima su takođe pokazale da uzorci ispoljavaju jaku luminiscenciju i da bi potencijalno mogli da se koriste kao biomarkeri za rano otkrivanje, dijagnozu i tretman kancera.

Jezgro-omota QDs dopirane manganom (Mn-ZnSe/ZnS) su konjugovane sa nHAp-om prethodno dopiranim fluorom, pri čemu je dobijen materijal: Mn-ZnSe/ZnS-nFHAp, sa ciljem da se razvije netoksičan i biokompatibilan fluorescentni materijal za bioimidžing [85]. ZnSe QDs su prvo dopirane manganom i funkcionalizovane karboksilnom grupom, a zatim obložene tankim slojem ZnS formirajući na taj način jezgro-omota strukturu. nFHAp je aktiviran oleinskom kiselinom, a zatim funkcionalizovan amino grupama radi lakše konjugacije sa QDs (slika 11.).

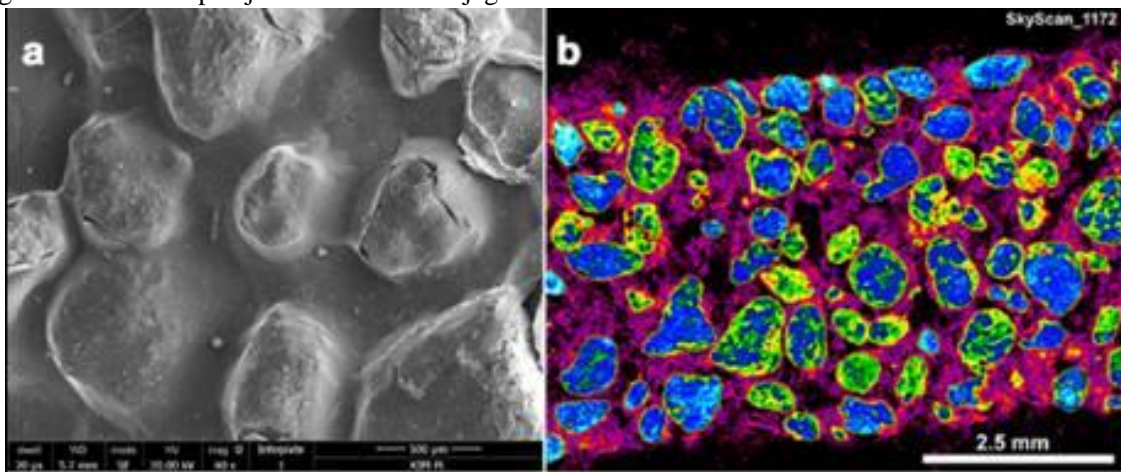


Ova vrsta materijala može biti perspektivna u rekonstrukcijama kostiju jer se pokazala kao induktivna za osteoblaste uz supresiju zapaljenskih procesa (slika 12). Efektivna i bezbedna indukcija i diferencijacija mati nih elija ključne su za kontrolu i uspešnost potencijala njihove primene. Istraživači su utvrdili važan uticaj površinske topografije HAp-a na osteogenetsku diferencijaciju mati nih elija u potencijalnim primenama [88].

Optimalna promocija osteogenetske diferencijacije je ostvarena prilikom vrednosti prose negativne hrapavosti (Ra) od 0,77 do 1,09 μm kao i za vrednosti prose negativne rastojanja distance max/min (RSm) od 53,9 do 39,3 μm. Pozitivan uticaj HAp-a na diferencijaciju

mati nih elija potvrdjen je i kod polistirenskih posuda koje su obložene HAp-om prilikom testiranja [89]. Sinergetski efekat HAp-a je utvrđen i kod njegovih

hibridnih sistema sa poli-L-laktidom (PLA) a na osteogenezu mati nih elija [90].



Slika 12 - Ch/gly/HAp materijal: a) SEM, b)MicroCT (HAp-plave boje) [87]

6. ZAKLJUČAK

Nanoestice hidroksiapatita (nHAp) se mogu sintetisati razliitim hemijskim postupcima, pri čemu se dobijaju prahovi različite morfologije i dimenzije. Novе strategije dobijanja nHAp-a i poboljšanja njegovih svojstava su kombinovane metode koje podrazumevaju kombinacije poput: hidrotermale sinteze sa mehaničkom, hidrotermalne sinteze sa hidrolizom, hidrotermalne sinteze sa emulzionim tehnikama i sl. U cilju poboljšanja bioloških svojstava HAp-a aktuelna je jonska supstitucija kroz modifikaciju hemijskih, strukturnih i morfoloških svojstava materijala, koristeći i pri tome dijagnostike i terapeutske sposobnosti supstituisanih jona. Mogućnost dopiranja nHAp-a metalnim jonima koji ispoljavaju magnetna i fotosenzitivna svojstva je od velikog značaja za uspostavljanje simultane dijagnoze i potencijalne terapije. Tako je, sinteza multifunkcionalnih i hibridnih materijala na bazi nHAp-a i prirodnih ili sintetskih polimera ima izuzetan potencijal u sistemima za ciljanu dostavu lekova. Posebno aktuelna istraživanja u oblasti nanoonkologije ukazala su na visok potencijal korišćenja nHAp-a u dijagnostici i terapiji tumora.

Može se zaključiti da je razvoj nanotehnologija umnogome doprineo daljim progresima u nauci o HAp-u. Manipulacija sastava, strukture i površine HAp-a na nano skali umnogome je unapredila svojstva HAp-a i ukazala na njegove potencijale u specifičnim primenama preventivne i regenerativne medicine.

7. ZAHVALNICA

Ova istraživanja su podržana od strane Ministarstva za prosvetu, nauku i tehnološki razvoj Republike Srbije u okviru projekta III45004 koje finansira.

LITERATURA

- [1] Habraken W, Habibovic P, Epple M, Bohner M. Calcium phosphates in biomedical applications: materials for the future?, *Mater. Today*, Vol. 19, pp. 69-87, 2016.
- [2] Hou CH, Hou SM, Hsueh YS, Lin J, Wu HC, Lin FH. The in vivo performance of biomagnetic hydroxyapatite nanoparticles in cancer hyperthermia therapy, *Biomaterials*, Vol. 30, pp. 3956-3960, 2009.
- [3] Uskoković V, Uskoković D. Nanosized hydroxyapatite and other calcium phosphates: Chemistry of formation and application as drug and gene delivery agents, *J. Biomed. Mater. Res. Part B Appl. Biomater.*, Vol. 96B, pp. 152-191, 2011.
- [4] Iafisco M, Varoni E, Foggia MD, Pietronave S, Fini M, Roveri N, Rimondini L, Prat M. Conjugation of hydroxyapatite nanocrystals with human immunoglobulin G for nanomedical applications, *Colloids Surf., B*, Vol. 90, pp. 1-7, 2012.
- [5] Guo Y, Shi D, Lian J, Dong Z, Wang W, Cho H, Liu G, Wang L, Ewing RC: Quantum dot conjugated hydroxylapatite nanoparticles for in vivo imaging, *Nanotechnol.*, Vol. 19, 175102, 2008.
- [6] Vukomanović M, Škapin SD, Janarić B, Maksin T, Ignjatović N, Uskoković V, Uskoković D. Poly(d,L-lactide-co-glycolide)/hydroxyapatite core-shell nanospheres. Part 1: A multifunctional system for controlled drug delivery, *Colloids Surf., B*, Vol. 82, pp. 404-413, 2011.
- [7] Cai Y, Liu Y, Yan W, Hu Q, Tao J, Zhang M. Role of hydroxyapatite nanoparticle size in bone cell proliferation, *J. Mater. Chem.*, Vol. 17, pp. 3780-3787, 2007.

- [8] Wang Y, Liu L, Guo S. Characterization of biodegradable and cytocompatible nano-hydroxyapatite/polycaprolactone porous scaffolds in degradation in vitro, *Polym. Degrad. Stab.*, Vol. 95, pp. 207-213, 2010.
- [9] Chen F, Zhu Y, Wu J, Huang P, Cui D. Nanostructured calcium phosphates: Preparation and their application in biomedicine, *Nano. Biomed. Eng.*, Vol. 4, pp. 41-49, 2012.
- [10] Pramanik S, Agarwal AK, Rai KN, Garg A. Development of high strength hydroxyapatite by solid-state-sintering process, *Ceram. Int.*, Vol. 33, pp. 419-426, 2007.
- [11] Yeong KCB, Wang J, Ng SC. Mechanochemical synthesis of nanocrystalline hydroxyapatite from CaO and CaHPO₄, *Biomaterials*, Vol. 22, pp. 2705-2712, 2001.
- [12] Silva CC, Pinheiro AG, Miranda MAR, Goes JC, Sombra ASB. Structural properties of hydroxyapatite obtained by mechanosynthesis, *Solid State Sci.*, Vol. 5, pp. 553-558, 2003.
- [13] Wei M, Ruys AJ, Milthorpe BK, Sorrell CC. Precipitation of hydroxyapatite nanoparticles: Effects of precipitation method on electrophoretic deposition, *J. Mater. Sci.: Mater. Med.*, Vol. 16, pp. 319-324, 2005.
- [14] Gouveia DS, Bressiani AHA, Bressiani JC. Phosphoric acid rate addition effect in the hydroxyapatite synthesis by neutralization method, *Mater. Sci. Forum*, Vol. 530-531, pp. 593-598, 2006.
- [15] Afshar A, Ghorbani M, Ehsani N, Saeri MR, Sorrell CC. Some important factors in the wet precipitation process of hydroxyapatite, *Mater. Design*, Vol. 24, pp. 197-202, 2003.
- [16] Bernard L, Freche M, Lacout JL, Biscans B. Preparation of hydroxyapatite by neutralization at low temperature-influence of purity of the raw material, *Powder Technol.*, Vol. 103, pp. 19-25, 1999.
- [17] Shih WJ, Chen YF, Wang MC, Hon MH. Crystal growth and morphology of the nano-sized hydroxyapatite powders synthesized from CaHPO₄·2H₂O and CaCO₃ by hydrolysis method, *J. Cryst. Growth*, Vol. 270, pp. 211-218, 2004.
- [18] Shojai MS, Khorasani MT, Jamshidi A. Hydrothermal processing of hydroxyapatite nanoparticles-a Taguchi experimental design approach, *J. Cryst. Growth*, Vol. 361, pp. 73-84, 2012.
- [19] Stojanović Z, Ignjatović N, Wu V, Zunjić Z, Skapin S, Veselinović Lj, Miljković M, Uskoković V, Uskoković D, Hydrothermally processed 1D hydroxyapatite: Mechanism of formation and biocompatibility studies, *Mater. Sci. Eng. C*, Vol. 68, 746-757, 2016.
- [20] Kuma AR, Kalainathan S. Sol-gel synthesis of nanostructured hydroxyapatite powder in presence of polyethylene glycol, *Physica B*, Vol. 405, pp. 2799-2802, 2010.
- [21] Dorozhkin SV. Calcium orthophosphates in nature, *Biol. Med. Mater.*, Vol. 2, pp. 399-498, 2009.
- [22] Ignjatović N, Ajduković Z, Rajković J, Najman S, Mihailović D, Uskoković D. Enhanced Osteogenesis of Nanosized Cobalt-substituted Hydroxyapatite, *J. Bionic Eng.*, Vol. 12, pp. 604-612, 2015.
- [23] Swetha M, Sahithi K, Moorthi A, Saranya N, Saravanan S, Ramasamy K, Srinivasan N, Selvamurugan N. Synthesis, characterization, and antimicrobial activity of nano-hydroxyapatite-zinc for bone tissue engineering applications, *J. Nanosci. Nanotechnol.*, Vol. 12, pp. 167-172, 2012.
- [24] Dorozhkin SV. Calcium orthophosphate coatings on magnesium and its biodegradable alloys, *Acta Biomater.*, Vol. 10, pp. 2919-2934, 2014.
- [25] Lin K, Zhou Y, Zhou Y, Qu H, Chen F, Zhu Y, Chang J. Biomimetic hydroxyapatite porous microspheres with co-substituted essential trace elements: surfactant-free hydrothermal synthesis, enhanced degradation and drug release, *J. Mater. Chem.*, Vol. 21, pp. 16558-16565, 2011.
- [26] Oviedo MJ, Contreras O, Duhalde RV, Carbajal-Arizaga GG, Hirata GA, McKittrick J. Photoluminescence of europium-activated hydroxyapatite nanoparticles in body fluids, *Sci. Adv. Mater.*, Vol. 4, pp. 558-562, 2012.
- [27] Veselinović Lj, Karanović Lj, Stojanović Z, Brakočki I, Marković S, Ignjatović N, Uskoković D. Crystal structure of cobalt-substituted calcium hydroxyapatite nanopowders prepared by hydrothermal processing, *J. Appl. Cryst.*, Vol. 43, pp. 320-327, 2010.
- [28] Zhu K, Qiu J, Ji H, Yanagisawa K, Shimanouchi R, Onda A, Kajiyoshi K. Crystallographic study of lead-substituted hydroxyapatite synthesized by hightemperature mixing method under hydrothermal conditions, *Inorg. Chim. Acta*, Vol. 363, pp. 1785-1790, 2010.
- [29] Zhu K, Yanagisawa K, Shimanouchi R, Onda A, Kajiyoshi K. Preferential occupancy of metal ions in the hydroxyapatite solid solutions synthesized by hydrothermal method, *J. Eur. Ceram. Soc.*, Vol. 26, pp. 509-513, 2006.

- [30] Stojanović Z, Veselinović Lj, Marković S, Ignjatović N, Uskoković D. Hydrothermal Synthesis of Nano-sized Pure and Cobalt-Exchanged Hydroxyapatite, *Mater. Manuf. Processes*, Vol. 24, pp. 1096-1103, 2009.
- [31] Ignjatović N, Ajduković Z, Savić V, Najman S, Mihailović D, Vasiljević P, Stojanović Z, Uskoković V, Uskoković D. Nanoparticles of cobalt-substituted hydroxyapatite in regeneration of mandibular osteoporotic bones, *J. Mater. Sci.: Mater. Med.*, Vol. 24, pp. 343-354, 2013.
- [32] Kulanthaivel S, Roy B, Agarwal T, Giri S, Pramanik K, Pal K, Ray SS, Maiti TK, Banerjee I. Cobalt doped proangiogenic hydroxyapatite for bone tissue engineering application, *Mater. Sci. Eng. C*, Vol. 58, pp. 648-658, 2016.
- [33] Wu HC, Wang TW, Sun JS, Wang WH, Lin FH. A novel biomagnetic nanoparticle based on hydroxyapatite, *Nanotechnol.*, Vol. 18, 165601, 2007.
- [34] Ajduković ZR, Krstev TM, Ignjatović NL, Stojanović Z, Mladenović AS, Kocić BD, Najman S, Petrović ND, Uskoković DP. In vitro evaluation of nanoscale hydroxyapatite-based bone reconstructive materials with antimicrobial properties, *J. Nanosci. Nanotechnol.*, Vol. 16, pp. 1420-1428, 2016.
- [35] Cox SC, Jamshidi P, Grover LM, Mallick KK. Preparation and characterisation of nanophase Sr, Mg, and Zn substituted hydroxyapatite by aqueous precipitation, *Mater. Sci. Eng. C*, Vol. 35, pp. 106-114, 2014.
- [36] Ito A, Ojima K, Naito H, Ichinose N, Tateishi T. Preparation, solubility, and cytocompatibility of zinc-releasing calcium phosphate ceramics, *J. Biomed. Mater. Res.*, Vol. 50, pp. 178-183, 2000.
- [37] Tang Y, Chappell HF, Dove MT, Reeder RJ, Lee YJ. Zinc incorporation into hydroxylapatite, *Biomaterials*, Vol. 30, pp. 2864-2872, 2009.
- [38] Hayakawa S, Ando K, Tsuru K, Osaka A, Fujii E, Kawabata K. Structural characterization and protein adsorption property of hydroxyapatite particles modified with zinc ions, *J. Am. Ceram. Soc.*, Vol. 90, pp. 565-569, 2007.
- [39] Li M, Xiao X, Liu R, Chen C, Huang L. Structural characterization of zinc-substituted hydroxyapatite prepared by hydrothermal method, *J. Mater. Sci.: Mater. Med.*, Vol. 19, pp. 797-803, 2008.
- [40] Kalita SJ, Bhatt HA. Nanocrystalline hydroxyapatite doped with magnesium and zinc: synthesis and characterization, *Mater. Sci. Eng. C*, Vol. 27, pp. 837-848, 2007.
- [41] Miyaji F, Kono Y, Suyama Y. Formation and structure of zinc-substituted calcium hydroxyapatite, *Mater. Res. Bull.*, Vol. 40, pp. 209-220, 2005.
- [42] Anwar A, Akbar S, Sadiqa A, Kazmi M. Novel continuous flow synthesis, characterization and antibacterial studies of nanoscale zinc substituted hydroxyapatite bioceramics, *Inorg. Chim. Acta*, Vol. 453, pp. 16-22, 2016.
- [43] Zuo KH, Zeng YP, Jiang D. Synthesis and magnetic property of iron-doped hydroxyapatite, *J. Nanosci. Nanotechnol.*, Vol. 12, pp. 7096-7100, 2012.
- [44] On WP, Meejoo S, Tang M. Incorporation of iron into nano hydroxyapatite particles synthesized by the microwave process, *Int. J. Nanosci.*, Vol. 06, pp. 9-16, 2007.
- [45] Ito A, Shinkai M, Honda H, Kobayashi T. Medical application of functionalized magnetic nanoparticles, *J. Biosci. Bioeng.*, Vol. 100, pp. 1-11, 2011.
- [46] Yingguang L, Zhuoru Y, Jiang C. Preparation, characterization and antibacterial property of cerium substituted hydroxyapatite nanoparticles, *J. Rare Earths*, Vol. 25, pp. 452-456, 2007.
- [47] Ciobanu CS, Popa CL, Predoli D. Cerium-doped hydroxyapatite nanoparticles synthesized by the co-precipitation method, *J. Serb. Chem. Soc.*, Vol. 81, pp. 433-446, 2016.
- [48] Bardhan R, Lal S, Joshi A, Halas NJ. Theranostic nanoshells: from probe design to imaging and treatment of cancer, *Acc. Chem. Res.* Vol. 44, pp. 936-946, 2011.
- [49] Barta CA, Barrable KS, Jia J, Thompson KH, Wasan KM, Orvig C. Lanthanide containing compounds for therapeutic care in bone resorption disorders, *Dalton Trans.* Vol. 43, pp. 5019-5030, 2007.
- [50] Chen F, Huang P, Zhu YJ, Wu J, Zhang CL, Cui DX. The photoluminescence, drug delivery and imaging properties of multifunctional Eu³⁺/Gd³⁺ dual-doped hydroxyapatite nanorods, *Biomaterials*, Vol. 32, pp. 9031-9039, 2011.
- [51] Karthi S, Kumar G S, Thamizhavel A, Girija E K. Biocompatible Luminomagnetic Hydroxyapatite Nanoparticles for Dual Model Bioimaging, *J. Bionanosci.*, Vol. 10, pp. 267-274, 2016.
- [52] Cipreste MF, Peres AM, Cotta AC, Aragon FH, Antunes AM, Leal AS, Macedo WA, Sousa EB. Synthesis and characterization of ¹⁵⁹Gd-doped hydroxyapatite nanorods for bioapplications as theranostic systems, *Mater. Chem. Phys.*, Vol. 181, pp. 301-311, 2016.

- [53] Mistry AS, Mikos AG. Tissue engineering strategies for bone regeneration, *Adv. Biochem. Eng./Biotechnol.*, Vol. 94, pp. 1-22, 2005.
- [54] Sokolova V, Epple M. Inorganic nanoparticles as carriers of nucleic acids into cells, *Angew. Chem. Int. Ed.*, Vol. 47, pp. 1382-1395, 2008.
- [55] Ignjatovic N, Ajdukovic Z, Savic V, Uskokovic D. Size effect of calcium phosphate coated with poly-DL-lactide-co-glycolide on healing processes in bone reconstruction, *J. Biomed. Mater. Res. B*, Vol. 94B, pp. 108-117, 2010.
- [56] Ignjatović N, Tomić S, Đakić M, Miljković M, Plavšić M, Uskoković D. Synthesis and properties of hydroxyapatite/poly-L-lactide composite biomaterials, *Biomaterials*, Vol. 20, pp. 809-816, 1999.
- [57] Ajduković Z, Najman S, ordević Lj, Savić V, Mihailović D, Petrović D, Ignjatović N, Uskoković D. Repair of bone tissue affected by osteoporosis with hydroxyapatite/poly-L-lactide (HAp-PLLA) with and without blood plasma, *J. Biomater. Appl.*, Vol. 20, pp. 179-190, 2005.
- [58] Ignjatović N, Ninkov P, Kojić V, Bokurov M, Srđić V, Krnjelac D, Selaković S, Uskoković D. Cytotoxicity and fibroblast properties during in vitro test of biphasic calcium phosphate/poly-DL-lactide-co-glycolide biocomposites and different phosphate materials, *Microsc. Res. Tech.*, Vol 69, pp. 976-982, 2006.
- [59] Ignjatović N, Wu V, Ajduković Z, Krstev TM, Uskoković V, Uskoković D. Chitosan-PLGA polymer blends as coatings for hydroxyapatite nanoparticles and their effect on antimicrobial properties, osteoconductivity and regeneration of osseous tissues, *Mater. Sci. Eng. C*, Vol. 60, pp. 357-364, 2016.
- [60] Ignjatović N, Gašić KP, Wu V, Ajduković J, Kojić V, Radović DV, Kuzmanović M, Uskoković V, Uskoković D. Selective anticancer activity of hydroxyapatite/chitosan-poly(D,L)-lactide-co-glycolide particles loaded with an androstane-based cancer inhibitor, *Colloids Surf., B*, Vol. 148, pp. 629-639, 2016.
- [61] Uskoković V, Ignjatović N, Petranović N. Synthesis and characterization of hydroxyapatite-collagen biocomposite materials, *Mater. Sci. Forum*, Vol. 413, pp. 269-274, 2003.
- [62] Samandari SS, Nezafati N, Samandarić SS. The effective role of hydroxyapatite-based composites in anticancer drug-delivery systems, *Crit. Rev. Ther. Drug Carrier Syst.*, Vol. 33, pp. 41-75, 2016.
- [63] Ignjatović NL, Ninkov P, Sabetrasedeh R, Uskoković DP. A novel nano drug delivery system based on tigecycline-loaded calcium phosphate coated with poly-DL-lactide-co-glycolide, *J. Mater. Sci.: Mater. Med.*, Vol. 21, pp. 231-239, 2010.
- [64] Ignjatovic N, Ninkov P, Sabetrasedeh R, Lyngstadaas, SP, Uskokovic D. In vitro evaluation of multifunctional nano drug delivery system based on tigecycline-loaded calcium phosphate/poly-DL-lactide-co-glycolide, *Bio-Med. Mater. Eng.*, Vol. 24, pp. 1647-1658, 2014.
- [65] Ignjatović N, Savić V, Najman S, Plavšić M, Uskoković D. A study of HAp/PLLA composite as a substitute for bone powder, using FT-IR spectroscopy, *Biomaterials*, Vol. 22, pp. 571-575, 2001.
- [66] Ignjatović N, Uskoković D. Synthesis and Application of Composite Biomaterial Hydroxyapatite/Poly-lactide, *Appl. Surf. Sci.*, Vol. 238, pp. 314-319, 2004.
- [67] Ignjatović N, Jovanović J, Suljovruji E, Uskoković D. Injectable polydimethylsiloxane/hydroxyapatite composite cement, *Bio-Med. Mater. Eng.*, Vol. 13, pp. 401-410, 2003.
- [68] Ignjatović N, Uskoković D. Biodegradable composites based on nano-crystalline calcium phosphate and bioresorbable polymers, *Adv. Appl. Ceram.*, Vol. 107, pp. 142-147, 2008.
- [69] Ignjatović N, Ajduković Z, Uskoković D. New biocomposite [biphasic calcium phosphate/poly-DL-lactide-co-glycolide/biostimulative agent] filler for reconstruction of bone tissue changed by osteoporosis, *J. Mater. Sci.: Mater. Med.*, Vol. 16, pp. 621-626, 2005.
- [70] Ignjatović , Ninkov P, Ajduković Z, Radović DV, Uskoković D. Biphasic calcium phosphate/poly-DL-lactide-co-glycolide composite biomaterial as bone substitute, *J. Eur. Ceram. Soc.*, Vol. 27, pp. 1589-1594, 2007.
- [71] Ignjatović NL, Liu CZ, Czernuszka JT, Uskoković DP. Micro and nano/injectible composite biomaterials of calcium phosphate coated with poly(DL-lactide-co-glycolide), *Acta Biomater.*, Vol. 3, pp. 927-935, 2007.
- [72] Ignjatović N, Djurić SV, Mitić Ž, Janković D, Uskoković D. Investigating an organ-targeting platform based on hydroxyapatite nanoparticles using a novel in situ method of radioactive ¹²⁵Iodine labeling, *Mater. Sci. Eng. C*, Vol. 43, pp. 439-446, 2014.
- [73] Yoon J, Kim D, Siregar A, Lee BY, Kwon KY, Byun J, Woo DK. 5-Fluorouracil-coated hydroxyapatite nanoparticles as anticancer drug delivery carriers, *Bull. Korean Chem. Soc.*, Vol. 36, pp. 445-446, 2015.
- [74] Chu SH, Feng DF, Ma YB, Li ZQ. Hydroxyapatite nanoparticles inhibit the growth of human glioma

- cells in vitro and in vivo, *Int. J. Nanomed.*, Vol. 7, pp. 3659-3666, 2012.
- [75] Ignjatović N, Uskoković V, Ajduković Z, Uskoković D. Multifunctional hydroxyapatite and poly(D,L-lactide-co-glycolide) nanoparticles for the local delivery of cholecalciferol, *Mater. Sci. Eng. C*, Vol. 33, pp. 943-950, 2013.
- [76] Leucuta SE. Nanotechnology for delivery of drugs and biomedical applications, *Curr. Clin. Pharmacol.*, Vol. 5, pp. 257-280, 2010.
- [77] Petros RA, DeSimone JM. Strategies in the design of nanoparticles for therapeutic applications, *Nat. Rev. Drug Discov.*, Vol. 9, pp. 615-627, 2010.
- [78] Lavie IZ, Michaeli Y, Reiter Y. Novel antibodies as anticancer agents, *Oncogene*, Vol. 26, pp. 3714-3733, 2007.
- [79] Dujardin E, Mann S. Bio-inspired materials chemistry, *Adv. Mater.*, Vol. 14, pp. 775-788, 2002.
- [80] Arruebo M, Valladares M, Fernandez AG. Antibody-conjugated nanoparticles for biomedical applications, *J. Nanomater.*, Vol. 2009, p. 24, 2009.
- [81] Kumar Swain S, Sarkar D. Study of BSA protein adsorption/release on hydroxyapatite nanoparticles, *Appl. Surf. Sci.*, Vol. 286, pp. 99-103, 2013.
- [82] Yong KT, Law WC, Hu R, Ye L, Liu L, Swihart MT, Prasad PN. Nanotoxicity assessment of quantum dots: from cellular to primate studies, *Chem. Soc. Rev.*, Vol. 42, pp. 1236-1250, 2013.
- [83] Wu P, Yan XP. Doped quantum dots for chemo/bio-sensing and bioimaging, *Chem. Soc. Rev.*, Vol. 42, pp. 5489-5521, 2013.
- [84] Ding K, Jing LH, Liu CY, Hou Y, Gao MY. Magnetically engineered Cd-free quantum dots as dual-modality probes for fluorescence/magnetic resonance imaging of tumors, *Biomaterials*, Vol. 35, pp. 1608-1617, 2014.
- [85] Zhou R, Li M, Wang S, Wu P, Wu L, Hou X. Low-toxic Mn-doped ZnSe@ZnS quantum dots conjugated with nano-hydroxyapatite for cell imaging, *Nanoscale*, Vol. 6, pp. 14319-14325, 2014.
- [86] Xiao D, Guo T, Yang F, Feng G, Shi F, Li J, Wang D, Duan K, Weng, J. In situ formation of nanostructured calcium phosphate coatings on porous hydroxyapatite scaffolds using a hydrothermal method and the effect on mesenchymal stem cell behavior, *Ceram. Int.*, Vol. 43, pp. 1588-1596, 2017.
- [87] Przekora A, Ginalska G. Chitosan/ -1,3-glucan/hydroxyapatite bone scaffold enhances osteogenic differentiation through TNF- mediated mechanism, *Mater. Sci. Eng. C*, Vol. 73, pp. 225-233, 2017.
- [88] Yang W, Han W, He W, Li J, Wang J, Feng H, Qian Y. Surface topography of hydroxyapatite promotes osteogenic differentiation of human bone marrow mesenchymal stem cells, *Mater. Sci. Eng. C*, Vol. 60, pp. 45-53, 2016.
- [89] Iijima K, Suzuki R, Iizuka A, Ueno-Yokohata H, Kiyokawa N, Hashizume, M. Surface functionalization of tissue culture polystyrene plates with hydroxyapatite under body fluid conditions and its effect on differentiation behaviors of mesenchymal stem cells, *Colloids Surf. B*, Vol. 147, pp. 351-359, 2016.
- [90] Amjadian S, Seyedjafari E, Zeynali B, Shabani I. The synergistic effect of nano-hydroxyapatite and dexamethasone in the fibrous delivery system of gelatin and poly(l-lactide) on the osteogenesis of mesenchymal stem cells, *Int. J. Pharm.*, Vol. 507, pp. 1-11, 2016.

SUMMARY

MULTIFUNCTIONAL AND HYBRID SYSTEMS BASED ON CALCIUM-PHOSPHATE AND HYDROXYAPATITE FOR PREVENTIVE AND REGENERATIVE MEDICINE

Thanks to its special characteristics, such as relatively easy chemical modification of structure and surface, calciumphosphates (CaP) especially hydroxyapatite (HAp) is found widely used in various fields of biomedicine. Beside of the ease chemical modification, which includes metal doping, enhancement of properties of the HAp can be accomplished by combinations with various therapeutic and/or diagnostic agents. Materials base on CaP or HAp can be used in bone tissue engineering for reconstruction of bone damages as bone graft substitute as well as bone drug delivery systems. The improved properties of HAp were realized by doping with different elements (Co, Zn, Fe, Eu, Gd etc.). Synthesis, characterization and application of nanoparticulate multifunctional and hybrid materials based on CaP and HAp, is currently receiving tremendous attention. Multifunctional hybrid systems based on HAp could integrate medical preventive and regenerative potential in a single particle.

Key words: calciumphosphates, hydroxyapatite, preventive and regenerative medicine, multifunctional, hybrid, nanomaterials